

□□□□□□□□□□□□□□□□□□□□

□□□□□□□□□□□□□□□□**TSC**□

□□□□□□ □□□□□□□□□□□□

□□□□□□□□□□□□□□□□□□□□

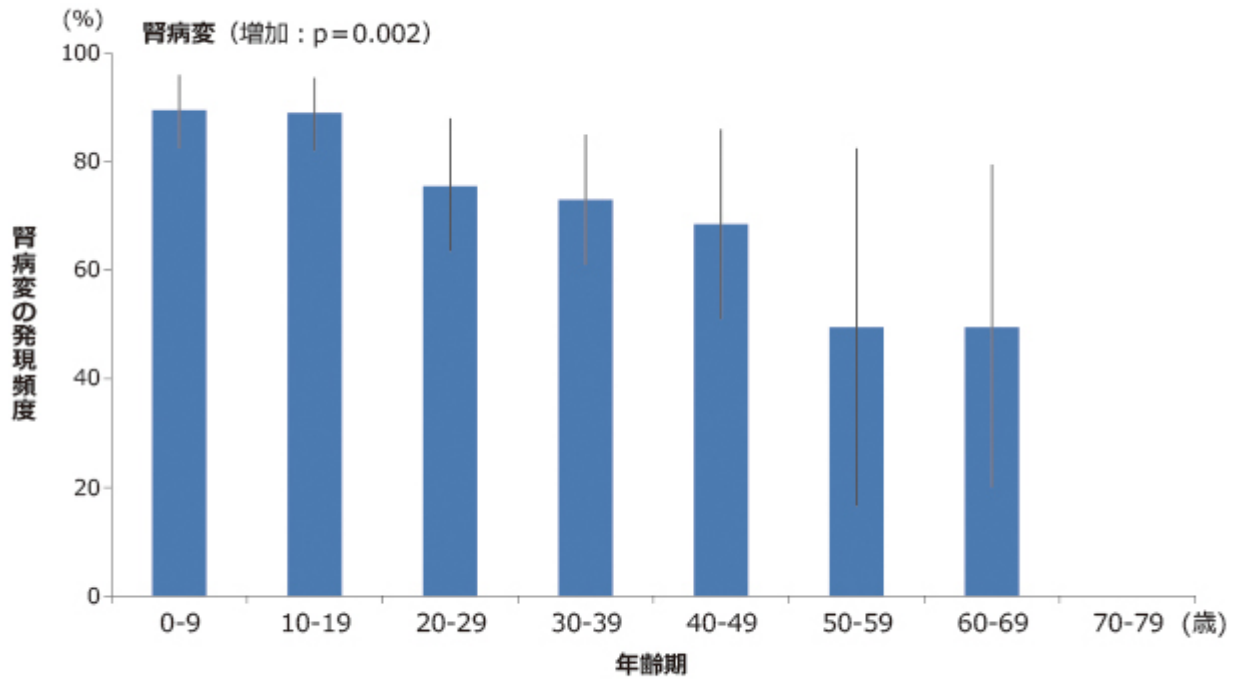
□□□□□□□□□□□□□□

AML

20~30 2~4% 20~50%<sup>1)</sup>  
2013 166 <sup>2)</sup> 1<sup>2)</sup> 71  
28 AML  
2

Image

図1 年齢期別の腎病変の発現率

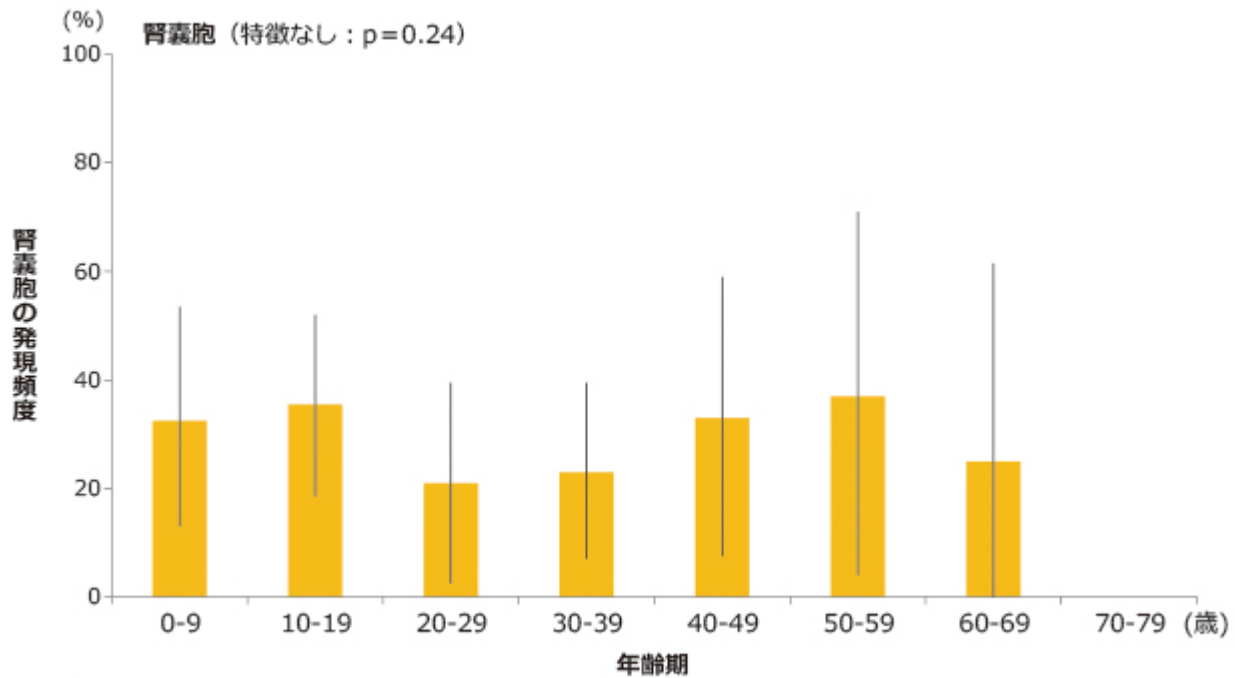


黒棒は信頼区間 (CI) を示す。  
一般化ロジスティック回帰モデルによるWald  $\chi^2$ 検定

Wataya-Kaneda M, et al. PLoS ONE 2013; 8: e63910

Image

図2 年齢期別の腎嚢胞の発現率



黒棒は信頼区間 (CI) を示す。  
一般化ロジスティック回帰モデルによるWald  $\chi^2$ 検定

Wataya-Kaneda M, et al. PLoS ONE 2013; 8: e63910

□□□□□□□□□□□□□□

AML  
AML

**renal cyst** 3

1  
1

Image

図 3

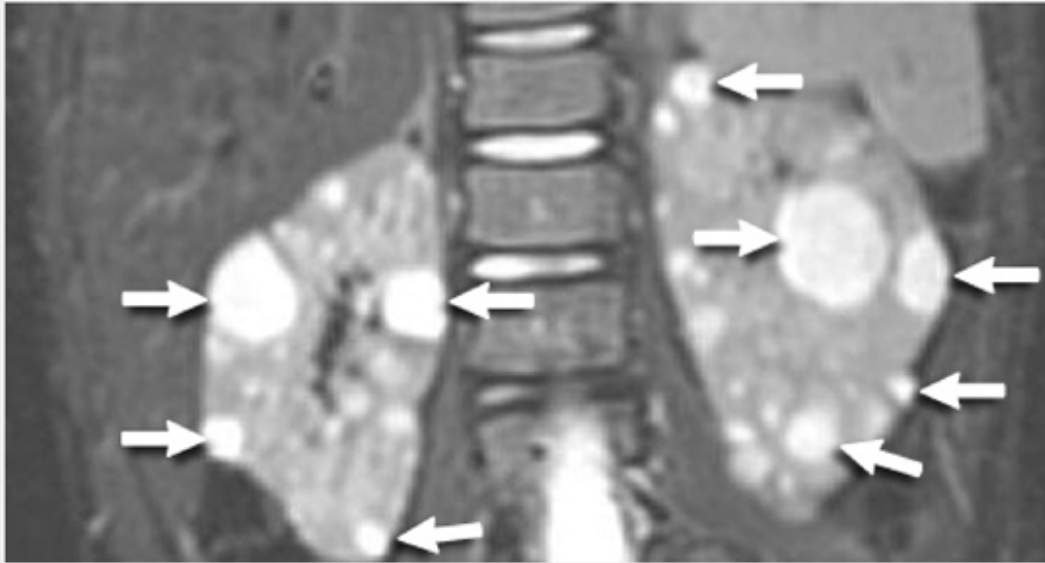


Reproduced, with permission, Umeoka S, et al. RadioGraphics 2008; 28: e32  
ノバルティス ファーマ社内資料

Image



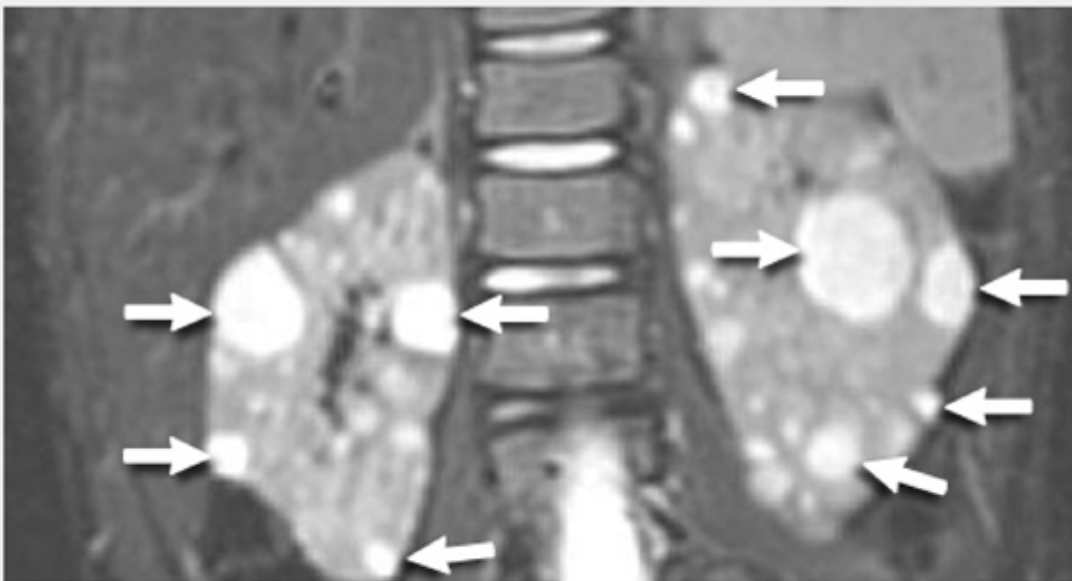
図 4



ノバルティス ファーマ社内資料

Image

図 4



ノバルティス ファーマ社内資料

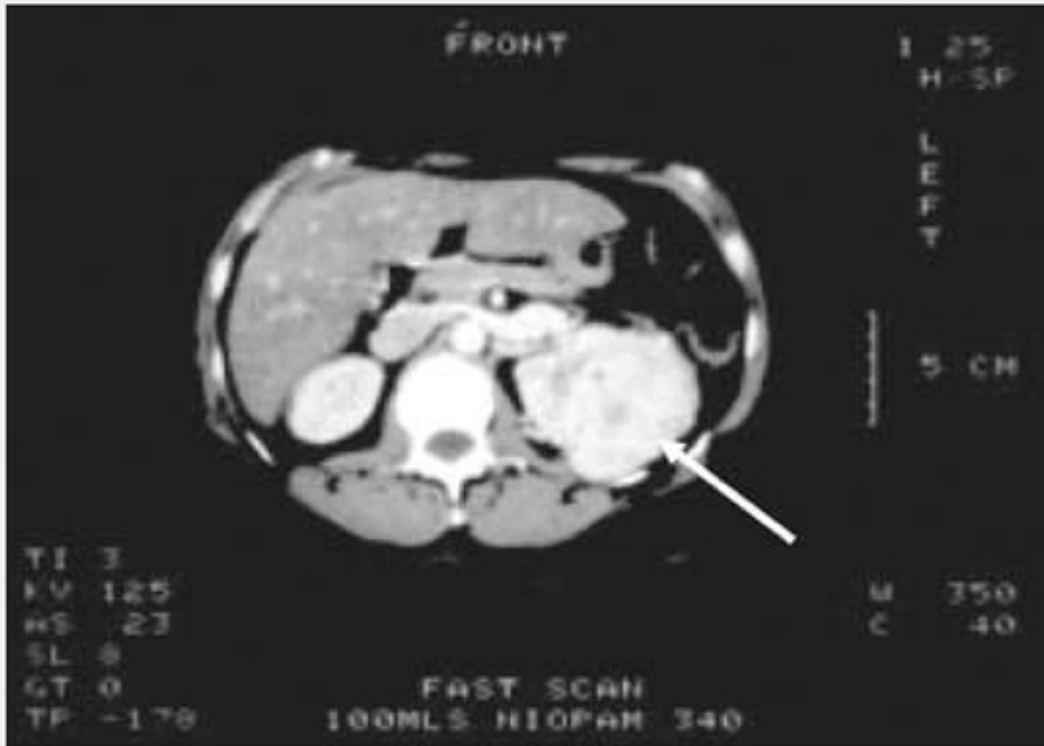
腎臓がん renal cell cancer: RCC 5

AML

2017<sup>8)</sup>

Image

図 5



Reprinted with permission from John Wiley and Sons.  
ノバルティス ファーマ社内資料

Image



